

C<sub>2</sub>N<sub>2</sub>O

1968

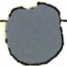
C<sub>2</sub>N<sub>2</sub>O

Hexter R.M.,  
Hand C.W.

Microscop.  
descrip

Appl. Optics, 1968, 7,

n11, 2161



(au. illus.) (iii)  
(gomenay)

*C<sub>2</sub>N<sub>2</sub>O*

1970

18 Б1031. Импульсный фотолиз смесей озон-дициан. H and Clifford W., Hexter Robert M. Flash photolysis of ozone-cyanogen mixtures. «J. Amer. Chem. Soc.», 1970, 92, № 7, 1828—1831 (литл.).

При импульсном фотолизе смесей  $C_2N_2 + O_3$  образуются два неустойчивых продукта с общей ф-лой  $C_2N_2O$ . Один из этих продуктов образуется по р-ции внедрения  $O(^1D)$  по связи  $C-C$ :  $N \equiv C - C \equiv N + O(^1D) \rightarrow N \equiv C - O - C \equiv N$  (полосы поглощения в ИК-спектрах при  $2205$  и  $2282\text{ см}^{-1}$ ), а другой по р-ции:  $C_2N_2 + O(^3P) \rightarrow C_2N_2O$  (полосы поглощения при  $2282$  и  $2252\text{ см}^{-1}$ ).

А. Шведчиков

+1

X. 1970. 18



10403.9041

Ch, Ph

$\text{CO}(\text{CN})_2$  (изд  
35247 егр 79)

1971  
XIV 490

Lees R.M. Microwave spectrum, dipole  
moment, and quadrupole coupling constants  
of carbonyl cyanide,  $\text{CO}(\text{CN})_2$ . "Can.J.Phys.",  
1971, 49, N 3, 367-373

(англ.)

ЕСТЬ ОЗНАЧЕНЫ ПИКИ  
40

319 323 329

ВИНИТИ

NCNCO

1973

12 Б210. Микроволновый спектр и структура изоцианата циана. Hocking W. H., Gerry M. C. L. Microwave spectrum and structure of cyanogen isocyanate. «J. Chem. Soc. Chem. Commun», 1973, № 2, 47—48 (англ.)

Приведены предв. результаты исследования МВ-спектра молекулы NCNCO. Идентифицированы линии вращательных переходов типа «*a*» и «*b*» (наличие переходов типа «*b*» указывает на нелинейную структуру молекулы NCNCO) в основном и в первых 4 возбужденных колебательных состояниях. Определены вращательные постоянные  $A = 74358,7$ ,  $B = 2699,04$ ,  $C =$

$= 2597,87$  Мгц и оценены значения длины связи C—N (1,283 Å) и угла C—N—C-140°. М. Р. Алиев

X. 1973 N 12

NCNCO

XIV-4712

1973

M.N.

(f) 90480u Microwave spectrum and structure of cyanogen isocyanate. Hocking, W. H.; Gerry, M. C. L. (Dep. Chem., Univ. B.C., Vancouver, B.C.). *J. Chem. Soc., Chem. Commun.* 1973, (2), 47-8 (Eng). The microwave spectrum of NCNCO indicated that the mol. was a slightly asym. prolate rotor and was bent although there were significant contributions from linear resonance forms.

C.A. 1973.78 n14

NCNCO

XIV-1412

1973

Д 5 Д444. Микроволновый спектр и структура молекулы NCNCO. Hocking W. H., Gerry M. C. L. Micro-wave spectrum and structure of cyanogen isocyanate. «J. Chem. Soc. Chem. Communns», 1973, № 2, 47—48 (англ.).

Из исследования микроволни. переходов *a*- и *b*-типа молекулы NCNCO определены ее структурные параметры. В предположении линейности N—C—N и N—C—O цепей вычислено, что длина связи C—N равна 1,283 Å, а угол между этими цепями 140,0°.

Г. П.

≠. 1973 N5

NCNCO

XCS-13625

1976

24 Б250. Микроволновый спектр циан изоцианата: (NCNCO). Hocking W. H., Gettys M. C. L. The microwave spectrum of cyanogen isocyanate (NCNCO). «J. Mol. Spectrosc.», 1976, 59, № 3, 338—354 (англ.)

М, Н, Чесноков  
Измерен МВ-спектр циан изоцианата NCNCO в основном и первых трех возбужденных состояниях наиболее низкочастотного колебания в области частот от 8 до 37 ГГц. Идентифицировано 70 переходов в основном состоянии и 60 переходов в возбужденных колебательных состояниях. При помощи гамильтониана в представлении Уотсона для всех состояний определены вращательные постоянные, моменты инерции и постоянные

X. 1976. N 94

центробежного искажения четвертого и шестого порядка. В основном состоянии вращательные постоянные в Мгц:  $A = 74358,690$ ,  $B = 2699,0367$ ,  $C = 2597,8663$ . По эффекту Штарка для пяти переходов определены в дебаях компоненты дипольного момента:  $\mu_a = 2,488 \pm 0,010$ ,  $\mu_b = 0,476 \pm 0,020$  и полный момент:  $\mu = 2,533 \pm 0,011$ . При ряде предположений относительно структуры молекулы определены два структурных параметра:  $r(\text{NC} - \text{NCO}) = 1,283 \text{ \AA}$ ,  $\angle \text{CNC} = 140^\circ$ . Полученные результаты сопоставлены с данными для родственных молекул. На основе измеренных спектроскопич. постоянных вычислены частоты 29 МВ-переходов, представляющих астрофиз. интерес.

С. Н. Мурзин

NCNCO

#18-13625

1976

12 Д383. Микроволновый спектр NCNCO. Hocking W. H., Геггу M. C. L. The microwave spectrum of cyanogen isocyanate (NCNCO). «J. Mol. Spectrosc.», 1976, 59, № 3. 338—354 (англ.)

В области 8—37 Гц при комнатной т-ре исследован микроволни. спектр газообразной молекулы NCNCO в основном и в первых трех возбужденных колебательных состояниях. Получены значения вращательных постоянных, постоянных центробежного искажения и моментов инерции. Показано, что молекула в основном состоянии плоская, типа асимметричного волчка. Найден дипольный момент и его компоненты:  $\mu_{общ}=2,533 \pm 0,011$ ;  $\mu_a=2,488 \pm 0,010$  и  $\mu_b=0,476 \pm 0,020$  ед. Дебая. Определена молекулярная структура. Проведено ее сравнение со структурой родственных молекул. Библ. 22.

М. В. Смирнов

(М.Н.)

Ф 1976 № 12

XIV-Нов. 7

NCNCO

X-65-13625

1976

84: 113935d. The microwave spectrum of cyanogen isocyanato (NCNCO). Hocking, W. H.; Gerry, M. C. L. (Dep. Chem., Univ. British Columbia, Vancouver, B. C.); *J. Mol. Spectrosc.* 1976, 50(3), 338-54. (Eng.). The microwave spectrum of cyanogen isocyanato was measured in the ground state and 1st 3 excited states of the lowest frequency vibration. Rotational constants, centrifugal distortion const., and moments of inertia were obtained. This mol. is a planar asymmetric rotor in its ground state, but shows considerable evidence of quasilinearity. The dipole moment was measured, and along with the structure, is compared with that of related mols.

M. B. Cawth

XUV - 1976

C. S. 1976.84 n16

70708.4679

NCN<sub>3</sub>, NCNCO

1977

Ph, Ch, AR

Спектр, излуч. вол. 77-IV-312

Frost D.C., Kroto H.W., McDowell C.A.,

Westwood N.P.C. "The HeI photoelectron spectra of the isoelectronic molecules, cyanogen azide, NCN<sub>3</sub>, and cyanogen isocyanide, NCNCO." J. Electron Spectrosc. and Relat. Phenom.", 1977, 11, N 2, 147-156 (англ.).

881 888 07 0910 рук. ВИНИТИ.

CCNNO

1978

Poppinger Dieter et al.

racem  
parvus.  
resonans

J. Amer. Chem. Soc. 1978,  
100, N<sup>o</sup>2, 3674-85



cu. CHNO - III

NCNCO  
NCOCN

Фонд № 6730

1948

21 Б55. Изоцианат циана и дициановый эфир: неэмпирическое изучение геометрий и электронных структур. Rosenberg Heidi, Olsen John F., Howell James M. Cyanogen isocyanate and di-cyanoether: ab initio studies of geometries and electronic structures. «J. Mol. Struct.», 1978, 48, № 2, 249—258 (англ.)

запись

SE

Б

Выполнены неэмпирич. расчеты в миним. гауссовом базисе OCT-3ГФ молекулы изоцианата циана NCNCO (I) и ее изомера — дицианового эфира NCOCN (II), а также изоэлектронной молекулы недокиси углерода C<sub>3</sub>O<sub>2</sub> (III). Проведена полная оптимизация геометрий I—III в предположении планарности этих молекул. Согласно расчету, равновесная конфигурация III линейна, а I — W-образна с длинами связей  $R(N-C)=1,16$  Å,  $R(C-N')=1,384$  Å,  $R(N'-C')=1,256$  Å,  $R(C-O)=1,176$  Å и углами  $NCN'=176^\circ, 1$ ,  $CN'C'=123^\circ$ ,  $N'C'O=168^\circ, 7$ . Барьер инверсии центрального азота составляет ~5 ккал/моль, причем инверсия сильно связана с изгибом фрагментов OCN и NCN. Расчетная

2' 1948, № 21

равновесная конфигурация II аналогична таковой I и характеризуется параметрами  $R(N-C) = 1,159$  Å,  $R(C-O) = 1,366$  Å,  $OCN = 175^\circ,7$ ,  $COC = 111^\circ,8$ . Однако в отличие от довольно гибкой молекулы I II — весьма жесткая частица: барьер инверсии кислорода найден равным  $\approx 50$  ккал/моль, хотя, по всей вероятности, эта цифра преувеличена главным образом из-за дефектов, присущих миним. базису. Энергия изомеризации  $\Delta E = E_{II} - E_I$  найдена равной  $\sim 7$  ккал/моль. Приводятся орбитальные энергии (ОЭ) и результаты анализа заселенностей по Малликену для равновесной и линейной конфигураций I и II. Высшей занятой MO как I, так и II является MO  $\pi$ -типа с ОЭ 9,4 эв (I) и 11,0 эв (II). Расчетные дипольные моменты молекул I и II в их равновесных конфигурациях равны соотв. 2,38 и 1,42 D.

В. Я. Беспалов

Я  
ННО.

NCNCO  
 $(NC)_2O$

отмечено 6730 1978

11 Д223.- Изоцианат циана и дициановый эфир: не-  
эмпирическое исследование геометрии и электронного  
строения. Rosenberg Heidi, Olsen John F.,  
Howell James M. Cyanogen isocyanate and dicya-  
noether: ab initio studies of geometries and electronic  
structures. «J. Mol. Struct.», 1978, 48, № 2, 249—258  
(англ.)

Факт геометрии  
но

Неэмпирическим методом ССП МО ЛКАО в базисе  
гауссовских ф-ций ОСТ-ЗГФ исследовано электронное  
строение и равновесная геометрия изоцианата циана,  
NCNCO (I) и его изомера — дицианового эфира  
 $(NC)_2O$  (II). Молекула I найдена довольно гибкой  
с барьером инверсии вокруг центрального атома  
C ~5 ккал/моль, что больше значений, полученных  
из оценок по микроволни. спектрам (1,4—3 ккал/моль),  
тогда как II — жесткая молекула (барьер инверсии  
порядка 50 ккал/моль). Обе молекулы обладают транс-  
изогнутой плоской конформацией (M-образной), ана-  
логичной системе изомеров HNCO—HOCN. Изомер I

ф. 1978 № 12

более стабилен. Дипольные моменты оценены в 2,38  
(2,53) и 1,42 ед. Дебая соответственно.

В. Л. Лебедев

NCNCO

отмечено 6730

1978

факт  
доказан  
но

II д223. Изоцианат циана и дициановый эфир: неэмпирическое исследование геометрии и электронного строения. Rosenberg Heidi, Olsen John F., Howell James M. Cyanogen isocyanate and dicyanoether: ab initio studies of geometries and electronic structures. «J. Mol. Struct.», 1978, 48, № 2, 249—258 (англ.)

Неэмпирическим методом ССП МО ЛКАО в базисе гауссовских ф-ций ОСТ-ЗГФ исследовано электронное строение и равновесная геометрия изоцианата циана, NCNCO (I) и его изомера — дицианового эфира  $\underline{\text{NC}}_2\text{O}$  (II). Молекула I найдена довольно гибкой с барьером инверсии вокруг центрального атома C ~5 ккал/моль, что больше значений, полученных из оценок по микроволн. спектрам (1,4—3 ккал/моль), тогда как II — жесткая молекула (барьер инверсии порядка 50 ккал/моль). Обе молекулы обладают трансизогнутой плоской конформацией (М-образной), аналогичной системе изомеров HNCO—HO CN. Изомер I

Ф. 1978 № 11

NCNCO

оттиски 6896

1978

5 Б51. Изучение геометрической структуры NCNCO в рамках метода частичного пренебрежения дифференциальным перекрыванием. Samanta Swadesh Rапјан, Shaikh Ali Uddin, Ali Mahamed Asgаг. Indo study of the geometrical structure of NCNCO. «J. chim. phys. et phys.-chim. biol.», 1978, 75, № 7—8, 703—705 (англ.)

геометрическое  
строение

В рамках метода ЧПДП изучена геометрия и электронное строение молекулы NCNCO (**I**). Длины связей были взяты из эксперимента, а угол CNC ( $\alpha$ ) варьировали от  $90^\circ$  до  $180^\circ$ . Минимуму полной энергии отвечает угловая геометрия  $\alpha=120^\circ$ , что согласуется с данными МВ-спектров. Дипольный момент **I**, оцененный в 4,26 D, обусловлен главным образом атомными вкладами (связанными с гибридизацией АО). Найдено, что центральный атом N и связанные с ним атомы C заряжены положительно, а концевой атом N и кислород — отрицательно. Расчет индексов Уайберга, показывает, что **I** можно описать структурой  $N=C-N=C=O$  с краине небольшим  $\pi$ -сопряжением через центральный атом N.

П. Н. Дьячков

2.1979 NS

$N \equiv C - N = C = O$

запись 8755

1979

7 Б260. О молекулярной структуре газообразного цианизоцианата  $N \equiv C - N = C = O$ . Bak Borge, Svahnolt Henrik, Holm Arne. On the molecular structure of gaseous cyanogen isocyanate,  $N \equiv C - N = C = O$ . «Acta chem. scand.», 1979, A33, № 8, 597—599 (англ.)

настукт.  
спирит.

Получены микроволновые спектры молекул  $N \equiv C - {}^{15}N = C = O$  и  ${}^{15}N \equiv C - N = C = O$ , являющихся продуктами диролиза 5-оксо-1,3-2,4-дитиадиазола, обогащенного изотопом  ${}^{15}N$ . На основе анализа спектров предложены две структурные модели молекулы с несколько отличающимися параметрами: I  $N \equiv C$  1,164,  $C - N$  1,303,  $N = C$  1,218,  $C = O$  1,165 Å,  $\angle N \equiv C - N$  180,  $\angle C - N = C$  138,47,  $\angle N = C = O$  180°; II  $N \equiv C$  1,164,  $C - N$  1,345,  $N = C$  1,218,  $C = O$  1,165 Å,  $\angle N \equiv C - N$  172,  $\angle C - N = C$  129,0,  $\angle N = C = O$  169°.

В. Спиридонов

ж. 1980 № 7

БДО-ХИУ — 9614

N:C-N:C:O.      ommea 8755  
                        BP-XIV-9817

1979

v92: S5156c On the molecular structure of gaseous cyanogen isocyanate, N:C-N:C:O. Bak, Boerge; Svanholt, Henrik; Holm, Arne (Chem. Lab. V, Univ. Copenhagen, Copenhagen, DK-2100 Den.). *Acta Chem. Scand., Ser. A* 1979, A33(8), 597-9 (Eng). The microwave spectra of N:C-<sup>15</sup>N:C:O and <sup>15</sup>N:C-N:C(O were obtained after the pyrolysis of 5-oxo-1,3,2,4-dithiadiazole. The mol. model of N:C-N:C:O presented by W. H. Hocking and M. C. L. Gerry (1976) may be slightly modified.

Marie.  
C. F. Young.

CA 1980 92 n10

CNNCO

статьи 8141

1979

22522. Изомеризация цианид — изоцианид в структурах изоцианата циана. Moffat J. B. Cyanide — isocyanide isomerization in the structural isomers of cyanogen isocyanate. «Int. J. Quantum Chem.», 1979, 15, № 5, 547—557 (англ.; рез. франц., нем.)

Установлены неэмпирические расчеты в минимуме базисе Г-3ГФ с оптимизацией геометрии 7 изомеров состава  $C_2N_3O$ : NCNCO (I), CNNCO (II), NCOOCN (III), NCONC (IV), NCCNO (V), CNCNO (VI), CNONC (VII), а также 4 изомеров HNCO (IX), HO-CN (X), HONC (XI) и HCNO (XII). Из перечисленных молекул линейными ( $C_{\infty v}$ ) оказываются только V, VI и XII. Найден следующий порядок стабильности изомеров: VI < VII < V < IV < II < III < I и XII < XI < IX < X. При пересчете IX—XII в базисе 6-31ГФ, однако, IX оказывается более стабильным, чем X. Оптимизированы геометрии переходных состояний 4 р-ций изомеризации цианид — изоцианид и найдены следующие энергии и барьеры изомеризации (ккал/моль): V → VI, 29,8, 67,5; I → II, 42,2, 84,3; IV → VII, 41,4, 106,8; III → IV, 44,6, 107,9. Обнаружена грубая

х.б. иссл.  
расчет

ilv

х. 1979, № 2

корреляция между энергиями изомеризации и изменениями полного заряда группы CN ( $q_{CN}$ ), а также изменениями заселенностей перекрывания рвущихся и образующихся связей. Найдена также приближенная линейная зависимость между барьерами изомеризации  $XCN \rightarrow XNC$  и величинами полной вариации заряда CN (определенной как  $|q^{+}_{CN} - q_{CN}(XCN)| + |q^{-}_{CN} - q_{CN}(XNC)|$ ), а также заселенностями перекрывания связей C—X и N—X в переходном состоянии. В. Я. Беспалов

ужд  
епс

NCDCN

OmniUER 13819

1982

Barone D., Cristinziano P.,

Lefè F., Russo N.,

Деккерон.  
Сергукчук.  
Н, Г.

J. Collo. Struct., 1982,

• 86, N3, 239-253.

$O(CN)_2$

1983

колл.,  
 Сибирькм.,  
 №;

Nguyen Minh Tho,  
 Ruelle Paal, Ha Tae-  
 Kyu.

Z. Mol. Struct., 1983,  
104, N 3-4, 353-364.

(см.  $O(BO)_2$ ; III)

NCNDO

[Oct. 24/95]

1986

pacifica  
Eugol. v  
Барбер  
Узбекст.

Чаркиев О. Н.,  
Зюбченко Т. С.

Координаты: оставлен,  
1986, 12, N 8, 1011-1037.

NCNCD

(OM. 2865D)

1987

UK cremp,  
London-  
sacramento

Devore T. C.,  
g. Mol. Street., 1987,  
162, N3-4, 287-304.

$\text{CO}(\text{CN})_2$

1987

6 Б1329. Внутримолекулярное силовое поле карбонилцианида. Intramolecular force field of carbonyl cyanide. Mohan S., Durai S. «Indian J. Phys.», 1987, B61, № 2, 125—129 (англ.)

Методом кинетич. постоянных рассчитано силовое поле молекулы карбонилцианида,  $\text{CO}(\text{CN})_2$  (I), имеющей плоскую структуру симметрии  $C_{2v}$ . Обсуждены корреляции между полученными силовыми постоянными и внутримолек. динамикой I. С полученным силовым полем рассчитаны величины среднеквадратичных и средних амплитуд колебаний, постоянных центробежного искажения и кориолисовых постоянных колебательно-вращат. взаимодействия. Г. М. Курамшина

III-1.

X. 1988, 19, N6

(CO)(CN<sub>2</sub>)

1987

ЗД77. Внутримолекулярное силовое поле карбонилцианида. Intramolecular force field of carbonyl cyanide. Mohan S., Durai S. «Indian J. Phys.», 1987, B61, № 2, 125—129 (англ.)

Методом FG-матриц Вильсона выполнен анализ норм. координат карбонилцианида (CO)(CN<sub>2</sub>). На основе обобщенного валентно-силового поля найдены характеристические силовые постоянные связей молекулы. Для получения наиболее реального набора силовых постоянных использованы среднеквадратичные амплитуды, средние амплитуды и постоянные центробежного искажения молекулы. Силовая постоянная  $f_{c-c}$  оказалась меньше, чем ожидалось для C—C связи, имеющей гибридизацию  $sp^2-sp$ . Это объяснено удлинением связи и увеличением эффективного положительного заряда на центральном атоме С вследствие индуктивного влияния C≡N-группы, что приводит к увеличению ионного характера C—C связи.

И. П. Яковлев

Ф 1988, 18, № 3



[om. 30490]

1988

Jacob et. al.,

Ti, Pi; J. Phys. and Chem. Ref.

Data, 1988, 17, N2, 444.

NCNCO

Ross S.C.

1988

J. Mol. Spectrosc.

(D<sub>7</sub>, D<sub>9</sub>)

1988, 132 (1), 48-79.

(c.c.s. Oeess; III)

NCNCO

1995

5) 18 Б145. Теоретическое исследование NCNCO и его изомеров. Theoretical study of NCNCO and its isomers / Fehér Miklós, Pasinszki Tibor, Veszprémi Tamás // Inorg. Chem. — 1995. — 34, № 4. — С. 945—951. — Англ.

Неэмпирическим методом ССП МО ЛКАО в базисе 6-31ГФ\* с учетом электронной корреляции по МП2 исследовано электронное строение 25 цианатов, изоцианатов, нитрилоксидов и фульминатов, содержащих CN- и NC-группы, и их серу- и селенсодержащих аналогов. Приведены равновесная геометрия, гармонические колебательные частоты, обсуждена относительная стабильность изомеров и проанализированы возможные пути изомеризации.

Н. Л.

Х. 1995, N 18

NCNCO

1995

122: 170650s Theoretical Study of NCNCO and Its Isomers.  
Feher, Miklos; Pasinszki, Tibor; Veszpremi, Tamas (Institut fuer  
Physikalische Chemie, Universitaet Basel, CH-4056 Basel, Switz.).  
*Inorg. Chem.* 1995, 34(4), 945-51 (Eng). Various cyanates,  
isocyanates, nitrile oxides, and fulminates substituted with CN- or  
NC- groups, as well as their sulfur and selenium analogs, were  
investigated by ab initio calcns. at the MP2/6-31G\* level. Equil.  
geometries were detd., and harmonic vibrational frequencies were  
calcd. at these points. Relative stabilities of different isomers were  
compared. Transition states connecting the stable structures were  
also investigated, and possible isomerization pathways were suggested.

CYANOCYANIDE  
NAPAL, VI,  
CNAZUREH,  
NEOP. MACER

C.A.1995, 122, N14

1995

F: NCCNO

P: 3

11Б1235. Образование в газовой фазе и спектроскопия нестабильных молекул NCCNO. Gas-phase generation and spectroscopy of the unstable NCCNO molecule / Pasinszki Tibor, Westwood Nicholas P. C. // J. Chem. Soc. Chem. Commun. - 1995. - N 18. - С. 1901-1902. - Англ.

Молекулы NCCNO, образующиеся в результате газофазного пиролиза (550°) дицианофуроксана при низком давлении, исследованы методами фотоэлектронной спектроскопии (eI), ИК-фурье-спектроскопии и фотоионизационной (линии H L['альфа','бета','гамма']) масс-спектрометрии. В ФЭС наблюдали полосы, связанные с ионизацией следующих МО: 11,28 эВ, 'пи'[nb](CNO); 17,08 эВ, 'пи'[b](CNO); 13,8-14,5 эВ, N[р'сигма'], 'пи'(CN). В ИК-спектре наблюдали интенсивные полосы 1442 и 2328 см<sup>-1</sup>, связанные с симметричным и антисимметричным валентными колебаниями фрагмента CNO, полоса

X. 1996, N 11

валентного колебания азот-углерод при  $2129 \text{ см}^{-1}$  и ряд  
малоинтенсивных полос -  $722, 511, 409 \text{ см}^{-1}$ , отнесенных соотв. к  
'ню'[4](C-C, вал.), 'ню'[5](CNO, 'дельта'), 'ню'[6] (NCC, 'дельта').  
Остальные полосы интерпретированы как обертоны и составные  
переходы. Согласно выполненным неэмпирич. расчетам молекула имеет  
линейную структуру, рассчитаны  $B[e]=2,2493 \text{ ГГц}$  и ' $\mu$ '=0,072 Д.

$NC=C\equiv N \rightarrow 0$

1996

$ONC=C\equiv N \rightarrow 0$

Pasinszki Tibor et al.,

M.I. 23 Eur. Congr. Mol. Spectrosc.,  
Balatonfured, 28-30 Aug,  
1996. C. 70

P.A.C.N. 12, 1997, 125-1256

NCCNO

OT 38475

1996

125: 311178v Ground, Excited, and Ionic States of the NCCNO Molecule: A He I Photoelectron, Infrared, Ultraviolet, and ab Initio Investigation. Pasinszki, Tibor; Westwood, Nicholas P. C. (Guelph-Waterloo Centre for Graduate Work in Chemistry, University of Guelph, Guelph, ON Can. N1G 2W1). *J. Phys. Chem.* 1996, 100(42), 16856-16863 (Eng). The cyanogen N-oxide mol. NCCNO was recently identified in the gas phase. NCCNO, generated from its stable ring dimer dicyanofuroxan by low-pressure thermolysis, is characterized by He I UPS, photoionization mass, UV, and IR spectroscopies. From stop-flow and revaporization expts. the mol. may be categorized as semistable, having a lifetime of a few hours in the dil. gas phase. The ground state mol. geometry and vibrational frequencies are explored with ab initio calcns. at the MP3, QCISD, and QCISD(T) levels for comparison with expt. The std. correlated methods have some difficulty with the structure; d. functional theory gives results closer to recent microwave data and suggests that bigger basis sets are necessary. The mol. is predicted to have a large amplitude deformation, suggesting possible quasi-linear behavior. For the ionic states, the semiempirical HAM/3 method gives

POMONA, UK,  
Yp u ab  
initio calcn.  
CNP-PA  
U M.H.

C.J. 1996, 125, n24

very good agreement with the measured ionization energies. The low lying singlet excited states, optimized at the CIS level of theory, assist with the interpretation of the UV spectrum. Taken together, the ab initio calcns. and the spectroscopic data suggest that both the ground state mol. and the ion have linear structures, but the lowest  $\pi^* - \pi$  electronic transition leads to a mol. strongly bent in the lowest excited singlet state.

NCCNO

1996

125: 341483h High resolution infrared spectroscopy of cyano-  
gen N-oxide, NCCNO. Guo, Bujin; Pasinszki, Tibor; Westwood,  
Nicholas P. C.; Zhang, Keqing; Bernath, Peter F. (Cent. Mol. Beams  
Laser Chem., Univ. Waterloo, Waterloo, ON Can. N2L 3G1). *J. Chem.*  
*Phys.* 1996, 105(11), 4457-4460 (Eng). The authors report here on the  
1st high resoln. IR absorption spectra of the semistable nitrile oxide,  
NCCNO. All of the fundamental modes of vibration (except for the low-  
est-frequency bending mode) and several combination bands were  
measured with a Fourier transform spectrometer at a resoln. of 0.005  
 $\text{cm}^{-1}$ . The authors present analyses of  $v_4$ , the C-C stretching mode at  
 $714.75394(6) \text{ cm}^{-1}$ ,  $v_6$ , the NCC bending mode at  $403.92597(6) \text{ cm}^{-1}$ ,  
 $v_6 + v_7$  at  $490.12362(6) \text{ cm}^{-1}$ , and the tentatively assigned  $v_5 + v_6$  combi-  
nation band at  $826.29186(8) \text{ cm}^{-1}$ . A simultaneous least squares fit of  
these 4 bands gives ground state rotational consts. of  $B_0 = 0.077,08554-$   
 $(34) \text{ cm}^{-1}$  and  $D_0 = 4.570(30) \times 10^{-9} \text{ cm}^{-1}$ .



c.a. 1996, 125, n 26

1996

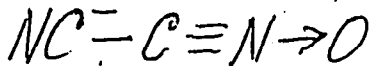
F: N2C2O

P: 3

16Б134. Основное, возбужденные и ионизированные состояния молекулы NCCNO. Исследование методами фотоэлектронной (HeI), ИК-, УФ-спектроскопии и методами неэмпирического расчета [квадратичным методом KB и методом МП3]. Ground, excited, and ionic states of the NCCNO molecule: A HeI photoelectron, infrared, ultraviolet, and ab initio investigation / Pasinszki Tibor, Westwood Nicholas P. C. [Journal of Physical chemistry] // J. Phys. Chem. - 1996. - 100, N 42. - С. 16856-16863. - Англ.

Место хранения ГПНТБ

РНСХ 1997



1996



Pasinszki T.,

Westwood N.P.C.

23 Eur. Congr. Mol. Spectrosc.,

cl. n. Balatonfured, 25-30 Aug.,

1996: Book Abstr. S. L., [1996].

C. 70.

(see. Cl=C $\equiv$ N $\rightarrow$ O; III)

NCCNO

1997

126: 284239c Microwave spectrum and geometry of cyanogen N-oxide, NCCNO. Bruppacher, Th.; Bohn, R. K.; Jager, W.; Gerry, M. C. L.; Pasinski, T.; Westwood, N. P. C. (Department Chemistry, University British Columbia, Vancouver, BC Can. V6T 1Z1). *J. Mol. Spectrosc.* 1997, 181(2), 316-322 (Eng), Academic. The microwave spectrum of cyanogen N-oxide, NCCNO, was studied at  $\nu = 4\text{--}23$  GHz, using a pulsed jet Fourier transform microwave spectrometer. The spectrum is that of a linear mol. Transitions of 5 isotopomers were analyzed, and  $r_0$ ,  $r_s$ , and  $r_{l.s}$  geometries were detd. The geometry and the  $^{14}\text{N}$  nuclear quadrupole coupling consts. were used to compare NC-CNO to similar mols. Though the present data indicate strongly that the mol. is truly linear, they are insufficient to rule out quasi-linear behavior completely.

(Mf CREMP)

C.A. 1997, 126, N21

1999

F: C2N2O

P: 3

130:257531 Electronic structure and hybridization effects in hypothetica orthorhombic carbon oxynitride. Ivanovskii, Alexander L.; Medvedeva, Nadezhda I.; Shveikin, Gennady P. (Institute of Solid State Chemistry, Ur Branch, Russian Academy of Sciences, Yekaterinburg 620219, Russia). Mend Commun., (1), 34-35 (English) 1999

The quantum-chem. examn. of the electronic structure and hybridization o the valence states in the orthorhombic Si<sub>2</sub>N<sub>2</sub>O and hypothetical C<sub>2</sub>N<sub>2</sub>O comp suggests that the cohesive properties can be improved by the substitution carbon for silicon in a silicon oxynitride crystal.

NCCNO [Om. 41173]

2007

Jack Korut<sup>\*</sup>,

J. Phys. Chem., 2005 A105

11347-380

Ab Initio                  Study on the  
Equilibrium                  Structure

and CCN Bending Energy  
Levels of Cyanofulminate  
(NCCNO).